

アスファルト舗装混合物のフレキシビリティー試験について

高松工業高等専門学校 正員 泉 英世

—(目 次)—

1. はしがき
2. 多層系舗装におけるフレキシビリティーの重要性
3. たわみ制御式曲げ試験機について
4. 試験結果ならびに考察
5. あとがき

1. はしがき

1-1 要旨

アスファルト舗装の破壊は、主として、表層底面または上面の引張ひずみによって起る、とされていふから、表層用アスファルト混合物は、曲げに対する許容性の大きさを混合物、を述べるべきであり、その設計も、この引張ひずみを基準にしてなさるべきであろう。現道舗装のように、荷重による弹性沈下の、比較的大きい場合は、特にそうであると思われる。

この曲げに対する許容性を評価する方法、すなわちフレキシビリティー試験のため、曲げ試験機を試作した。なお、この試験は、くり返し曲げ試験のための、前提として行った。

1-2 記号その他

P : 荷重, (kg, ton), σ_0 : 荷重度, (kg/cm^2), R : 応力, (kg, ton), σ, σ_b : 応力度, 曲げ応力度, (kg/cm^2), a : 載荷面半径, (cm), f : たわみ, (cm, mm), l : 径向, (cm), E, E_c, E_t : ひずみ, 圧縮・引張ひずみ, t : 時間, (sec), R_i : 曲率半径, (m), T : 温度, ($^\circ\text{C}$), E : 弹性率, (kg/cm^2), 添字は層番号, h : 層厚, (cm), 中立軸 : はりの軸方向のひずみゼロの軸を指すこととする。

「見かけのフレキシビリティー」 : 1回の曲げに対する許容性をいい、破壊たわみ量、同曲率半径、あるものは同引張ひずみ量などであらわす。

「真のフレキシビリティー」 : くり返し曲げに対する許容性をいい、曲げに対する疲労限度、その他を指す。

2. 多層系舗装におけるフレキシビリティーの重要性

2-1 要旨

多層系舗装においては、限界沈下量、限界曲率半径などをきめて、ある基準値をえていふが、舗装表面におけるこれらの値は、必ずしも基準とはならない。たとえば、弹性率の小さなフレキシビリティーに富む表層は、弹性率の大きいフレキシビリティーに乏しい表層に比し、舗装表面における荷重による弹性沈下量は大きいが、安全性はかえって大きいようなものである。

その1例を、(2-2)に示す。

2-2 弹性沈下量と表層底面の限界引張ひずみ

今、(図-2-2(1))のような現道舗装上に、半径20cmの等布輪荷重がのるものとする。表層の弾性率が、温度変化によって、 $10000 \sim 100000 \text{ Kg/cm}^2$ と変化するに応じて、舗装表面の載荷面中心における弾性沈下量を、Oldemarkの等価法で計算すると、(図-2-2(2))中の曲線の如くなつた。一方、表層のフレキシビリティーの変化を、本篇で述べるような曲げ試験機などで測定したところによると、同図中に示された如くなつた。すなわち、表層の弾性率の増大によるフレキシビリティーの減少は、同じ理由による曲げひずみの減少を、はさかに上回る場合が多い。そればかりでなく、表層の弾性率の増大は、E-率比の増大を意味し、中立軸は上昇し、危険度はさらに増大する。

	$\leftarrow a \rightarrow$	$E_1 = 5, E_2 = \begin{cases} 10000, \\ 100000, \end{cases}$	$E_3 = 2000,$	$E_m = 600.$
①アス・コン		$E_1 = 5, E_2 = \begin{cases} 10000, \\ 100000, \end{cases}$		
②ソイル・セメント		$E_2 = 12$	$E_2 = 10000,$	
③砂利層		$E_3 = 13$		
④路床				$E_m = 600.$

図-2-2(1) 現道舗装模型

3. たわみ制御式曲げ試験機について

3-1 要旨

アスファルト混合物の、「曲げ」のみに対する許容性を検討する検討する試験機であって、たわみにより制御される。最初は1回の曲げ試験を行ふが、最終的には、くり返し曲げ試験を行うのを目的とする。

アスファルト混合物の長方形ばり($10 \times 5 \times 30 \text{ cm}^3$)を、単純支承にて支え、一定のたわみ速度で曲げる。その際、はりを側方より拘束して、ある位置における「はりのせん維の長さ」を一定に保つ。そして、破壊に至るまでのたわみ量の測定を、主目的とする。(図-3-1(1))参照。

3-2 構造

構造の概略を、(図-3-2(1))に示す。

3-3 測定

供試体に曲げを与えたとき、供試体の種類によって、側方反力を生ずる場合があり、またその大きさも、今のところ不明であるから、一応近似的に、単純ばりとみなしておく。

たわみ f

$$\text{曲率半径} \cdots \rho = l^2 / 12f$$

$$\text{引張ひずみ} \cdots \varepsilon_t = h_t / \rho = 12f h_t / l^2$$

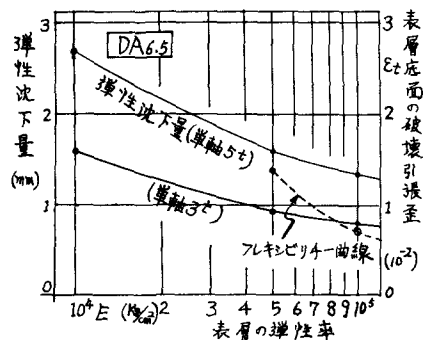


図-2-2(2)

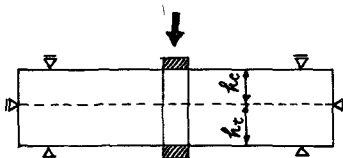


図-3-1(1)

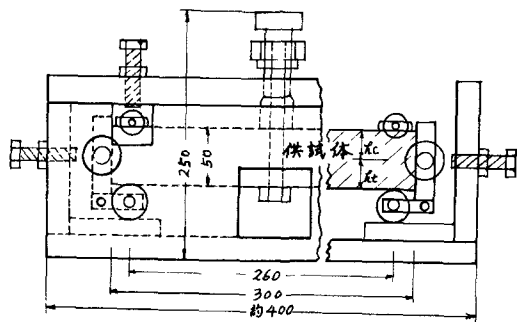


図-3-2(1) 曲げ試験装置 (単位mm)

$$\text{同ひずみ速度} \cdots \frac{d\varepsilon_t}{dt} = \frac{12 h_t}{l^2} \cdot \frac{df}{dt}$$

4. 試験結果 ならびに考察

4-1 供試体

(1) 種類

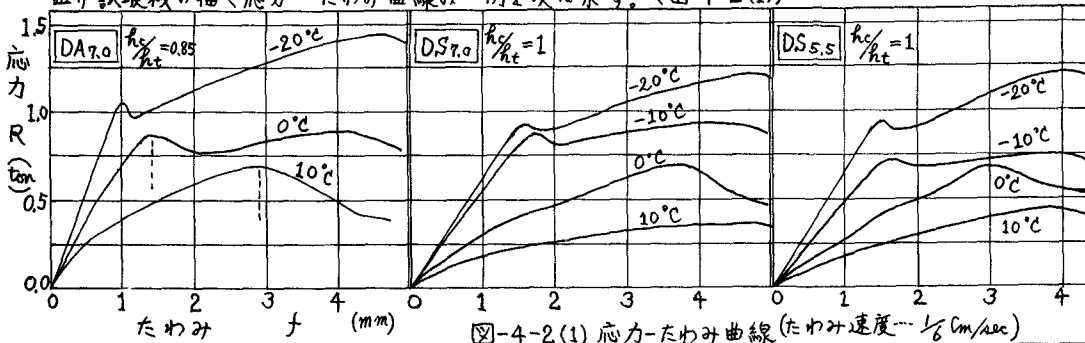
種類	呼称	粒度	結合材						比重	
				種類	針入度			含有量 (%)		
					5°C	10°C	15°C			
密粒度アス・コン	DA 7.0	砂の中決値 モルタル分43%	ストレート・アスファルト ゴム化キャット・ブローン・アスファルト	7	12	21	77	7.0		
	DS 7.0			10	19	31	76	7.0		
	DS 6.5							6.5		
	DS 5.5							5.5		
不連続粒度無空隙 混合物	H43RCB	モルタル分43%	ゴム化キャット・ブローン・アスファルト ゴム化・ブローン・アスファルト	19	23	33	55			
	H43RB			8	11	15	24			

(2) 作製

締固めには、CBR用ランマーにて、50～100回突固めた後、静荷重にて50ton(毎分5ton)をかけた。

4-2 応力-たわみ曲線について

曲げ試験機の描く応力-たわみ曲線の一例を次に示す。(図-4-2(1))



4-3 試験結果 ならびに考察

右図に示されるように、破壊たわみ量は、極限の状態に近い所(-20°C)では、各供試体とも余りかわらないが、それによりてまでの値は若干の相違を示すようである。更に繰返し試験を行うこと。

5. あとがき

まだ試行の段階にて、数値も必ずしも正確とはいがたい。特に供試体の作製方法を改良すること。

《謝辞》

鹿島道路K.K. 遠藤靖氏には、こん切丁寧な御指導を頂きました。

